

Formation Machine Learning - Support Vector Machine

Jean-Marc Martinez

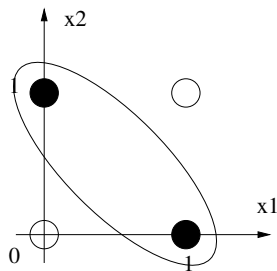
Université Paris-Saclay
CEA, Département de Modélisation des Systèmes et Structures
91191 Gif-sur-Yvette, France

CEA Maison de la simulation 24-26 mai 2023

- 1 Introduction
- 2 Introduction aux méthodes d'optimisation sous contraintes
 - Optimisation sous contraintes égalité
 - Optimisation sous contraintes inégalité
- 3 SVM Linéaires
 - Classes linéairement séparables
 - Classes non linéairement séparables
- 4 SVM non linéaires
 - Introduction aux SVM non linéaires
 - Méthodes à noyaux
 - SVM à noyaux
 - Illustrations
- 5 Conclusions

Rappel de l'introduction au SVM

- La fonction logique **XOR** non linéaire séparable.
- Le **XOR** devient linéairement séparable dans $\{x_1, x_2, x_1x_2\}$



$$y = \begin{cases} 1 & \text{si } x_1 + x_2 - 2x_1x_2 \geq 0.5 \\ 0 & \text{sinon} \end{cases}$$

- Solution par les SVM : transformation des données \rightarrow **espace de re-description** dans lequel le problème devient linéairement séparable

Classification supervisée

- Nous allons *reconsidérer* le problème de la classification supervisée sans faire appel à une modélisation probabiliste.

loss function \neq likelihood

- Nous nous limiterons aux problèmes à 2 classes.
- Notation : Base d'exemples $\{(x_1, y_1), \dots, (x_n, y_n)\}$ où $x_i \in \mathbb{R}^p$ représente les caractéristiques de l'exemple x_i associé à une des 2 classes codées par $y_i \in \{-1, +1\}$.
- Définition : un problème de classification est **linéairement séparable** lorsque les 2 classes peuvent être séparées par une forme linéaire (affine) des entrées x
- Construction d'un SVM fait appel aux méthodes d'optimisation sous contraintes que nous allons introduire.

Optimisation sous contraintes égalités

- Soit une fonction $f : x \in \mathbb{R}^p \rightarrow \mathbb{R}$.
- Recherche du minimum de f sous les contraintes $g_i(x) = 0, i = 1, \dots, m$.
- On suppose f et g différentiables.

Construction du lagrangien

$$L(x, \lambda) = f(x) + \sum_{i=1}^m \lambda_i g_i(x)$$

où λ_i sont les multiplicateurs de Lagrange.

Conditions nécessaires

Si le problème a une solution x^* sous les contraintes, on a les conditions nécessaires :

$$\begin{aligned} \nabla_x L(x^*, \lambda^*) &= \nabla_x f(x^*) + \sum_{i=1}^m \lambda_i \nabla_x g_i(x^*) &= 0 \\ \nabla_\lambda L(x^*, \lambda^*) &= g_i(x^*) &= 0, \quad i = 1, \dots, m \end{aligned}$$

Equivalence

Optimisation dans \mathbb{R}^p sous m contraintes = Optimisation sans contraintes dans \mathbb{R}^{p+m}

Exemple : distance minimale d'un point à un plan

Lagrangien

La distance minimale entre le point u et le plan défini par $w^t x + b = 0$ est obtenue en minimisant $\|x - u\|^2$ sous la contrainte $w^t x + b = 0$:

$$L(x, \lambda) = \|x - u\|^2 + \lambda(w^t x + b)$$

Conditions nécessaires

$$(a) \quad \nabla_x L(x^*, \lambda^*) = 2(x^* - u) + \lambda^* w = 0$$

$$(b) \quad \nabla_\lambda L(x^*, \lambda^*) = w^t x^* + b = 0$$

Résolution

$$(a) \Rightarrow x^* = u - \frac{\lambda^*}{2} w$$

$$(b) \Rightarrow w^t \left(u - \frac{\lambda^*}{2} w \right) + b = 0 \Rightarrow \lambda^* = 2 \frac{w^t u + b}{\|w\|^2}$$

$$\|x^* - u\| = \frac{\|\lambda^*\|}{2} \|w\|$$

$$\Rightarrow \|x^* - u\| = \frac{|w^t u + b|}{\|w\|}$$

Optimisation sous contraintes inégalités

Soit une fonction $f : x \in \mathbb{R}^p$. Recherche du minimum de f sous les contraintes $g_i(x) \geq 0$ pour $i = 1, \dots, m$. On suppose f et g différentiables.

Lagrangien

$$L(x, \mu) = f(x) - \sum_{i=1}^m \mu_i g_i(x)$$

où μ_i sont les multiplicateurs de Lagrange.

Conditions nécessaires de Karusch, Kuhn et Tucker

Si le problème a une solution x^* sous les m contraintes inégalités, on a les conditions :

$$\begin{aligned} \nabla_x f(x^*) - \sum_{i=1}^m \mu_i^* \nabla_x g_i(x^*) &= 0 \\ g_i(x^*) \leq 0, \quad \mu_i^* \geq 0, \quad \mu_i^* g_i(x^*) &= 0, \quad i = 1, \dots, m \end{aligned}$$

Définition d'une contrainte active

De $\mu_i^* g_i(x^*) = 0$, on en déduit soit $\mu_i^* = 0$ soit $g_i(x^*) = 0$.

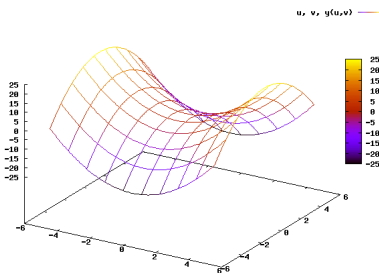
$$\mu_i^* > 0 \Rightarrow g_i(x^*) = 0 \quad \text{contrainte active}$$

Théorème : optimisation convexe (utile pour les SVM)

Si x^* est une solution du problème $\min_x f(x)$ sous $g_i(x) \geq 0$ (m contraintes) avec $f()$ et les $g_i()$ convexes, alors il existe un multiplicateur $\mu^* \in \mathbb{R}_+^m$ tel que le couple (x^*, μ^*) soit solution du problème du point selle :

$$\max_{\mu \geq 0} \min_x \{L(x, \mu) = f(x) - \mu^T g(x)\} = \max_{\mu \geq 0} f(x(\mu)) - \mu^T g(x(\mu))\}$$

- Variable *primale* x en fonction de la variable *duale* $x = x(\mu)$ puis recherche de la valeur μ^* qui maximise le lagrangien ne dépendant plus que de μ . Puis calcul de la solution $x^*(\mu^*)$.



Exemple

Minimiser $x^T A_{n,n} x$ (A symétrique) sous m contraintes $C_{m,n} x \leq d$

$$L(x, \mu) = \frac{1}{2} x^T A x + \mu^T (C x - d)$$

La fonction coût et la contrainte sont convexes.

$$\nabla_x L = A x + C^T \mu$$

Le minimum par rapport à x :

$$\nabla_x L(x^*) = 0 \Rightarrow x^* = -A^{-1} C^T \mu$$

On obtient la fonctionnelle duale à maximiser

$$H(\mu) = -\frac{1}{2} \mu^T C A^{-1} C^T \mu - \mu^T d, \quad \mu_i \geq 0$$

Hyperplan séparant les 2 classes

- Pour un problème **linéairement séparable**, l'apprentissage consiste donc à déterminer un **hyperplan séparateur**.
- Le problème consiste à déterminer les coefficients (w, b) tels que la fonction de prédiction se code par :

$$f(x|w, b) = \text{signe}(w^T x + b)$$

- Problème linéairement séparable \rightarrow il existe un hyperplan (w, b) dans \mathbb{R}^p pour lequel :

$$y_i(w^T x_i + b) > 0, \quad i = 1, 2, \dots, n$$

- Il suffit donc de trouver une solution (w, b) vérifiant les n contraintes.
- Remarque : il existe plusieurs hyperplans!!!

Hyperplan à marge optimale

- Afin d'avoir un classifieur **robuste**, retenons celui défini par l'hyperplan le plus éloigné des points x_i .
- Cela revient à maximiser la distance $d(x_i)$ des points x_i à l'hyperplan.

$$d(x_i) = \frac{|w^T x_i + b|}{\|w\|_2}$$

- Paramètres (w, b) vérifiant les n contraintes, définis à une constante près
- Forme de normalisation en retenant la solution (w, b) telle que :

$$\min_i |w^T x_i + b| = 1$$

- Hyperplan à marge optimale est donc obtenu en minimisant $\|w\|_2$

Optimisation quadratique sous contraintes linéaires

- La recherche des paramètres de l'hyperplan (w, b) se met sous la forme d'un lagrangien : minimiser $\|w\|^2$ sous les n contraintes $y_i(w^T x_i + b) \geq 1$.

$$L(w, b, \mu_{[1:n]}) = \frac{1}{2} \|w\|^2 - \sum_{i=1}^n \mu_i [y_i(w^T x_i + b) - 1]$$

avec les 2 conditions (a) et (b) de Karush-Kuhn-Tucker :

$$(a) : \quad \mu_i [y_i(w^T x_i + b) - 1] = 0, \quad (b) : \quad \mu_i \geq 0$$

- La solution s'obtient en recherchant le minimum du lagrangien par rapport à (w, b) (variables primales) et son maximum par rapport aux μ_i (variables duales)
- Critère, contraintes convexes \rightarrow optimisation convexe. Méthode de résolution
 - 1 exprimer la solution optimale (w^*, b^*) en fonction des variables μ
 - 2 reformulation du lagrangien en fonction des μ_i
 - 3 calculer les valeurs optimales μ_i^* puis en déduire (w^*, b^*)

Optimisation convexe

- Notation $\mu = (\mu_1, \mu_2, \dots, \mu_n) \in R^{n+}$
- Problème primal, la solution doit annuler le gradient du lagrangien par rapport aux variables primales

$$\begin{aligned} \nabla_w L(w, b, \mu) &= w - \sum_{i=1}^n \mu_i y_i x_i &\Rightarrow w^* &= \sum_{i=1}^n \mu_i y_i x_i \\ \nabla_b L(w, b, \mu) &= - \sum_{i=1}^n \mu_i y_i &\Rightarrow \sum_{i=1}^n \mu_i y_i &= 0 \end{aligned}$$

- Problème dual obtenu en exprimant (w, b) en fonction μ dans le lagrangien :

$$\begin{aligned} L(w^*, b^*, \mu) &= \frac{1}{2} \|w^*\|^2 - \sum_{i=1}^n \mu_i [y_i (w^{*T} x_i + b^*) - 1] \\ &= \frac{1}{2} \sum_{i=1}^n \sum_{j=1}^n \mu_i \mu_j y_i y_j x_i^T x_j - \sum_{i=1}^n \mu_i [y_i (\sum_{j=1}^n \mu_j y_j x_j^T x_i + b) - 1] \\ &\Rightarrow \boxed{L(\mu) = \sum_{i=1}^n \mu_i - \frac{1}{2} \sum_{i,j=1}^n \mu_i \mu_j y_i y_j x_i^T x_j} \end{aligned}$$

- Maximiser la **forme quadratique** $L(\mu)$ sous les contraintes $\mu_i \geq 0$ et $\sum_{i=1}^n \mu_i y_i = 0$

Minimisation quadratique sous contraintes linéaires

- Le problème se met donc sous forme d'une recherche *classique* d'un minimum d'une fonction quadratique sous contraintes linéaires.
- En notant K la matrice $n \times n$ d'éléments $y_i y_j x_i^T x_j$, le problème devient

$$\mu^* = \arg \min_{\mu} \left[\frac{1}{2} \mu^T K \mu - \mathbf{1}^T \mu \right]$$

sous les contraintes $\mu_i \geq 0$ et $\sum_i \mu_i y_i = 0$.

- Existence d'algorithmes d'**optimisation convexe** efficace pour déterminer μ^* . On déduit la solution w^* :

$$w^* = \sum_{i=1}^n \mu_i^* y_i x_i$$

- Seules les composantes $\mu_i > 0$ contribuent à la définition de l'hyperplan. Notons S_v l'ensemble des indices de ces composantes :

$$w^* = \sum_{s \in S_v} \mu_s^* y_s x_s$$

- La définition du séparateur ne dépend que des points x_s .

Modèle linéaire du SVM

- La condition de Karush-Kuhn-Tucker (a) implique que tous les points supports vérifient $y_s(w^T x_s + b) = 1$.
- Le seuil b peut donc être calculé par un des points supports ou par l'ensemble en prenant la moyenne (plus précis numériquement).
- En notant $|S_v|$ le nombre de points supports, la valeur b^* est calculée par :

$$b^* = \frac{1}{|S_v|} \sum_{s \in S_v} (y_s - w^{*T} x_s)$$

- Le classifieur à marge optimale est donc défini par :

$$f(x|w^*, b^*) = \text{signe}(w^{*T} x + b^*)$$

- Cette méthode se ramène à la sélection de quelques points notés x_s qui contribuent à la définition de l'hyperplan. En général $|S_v| \ll n$.
- Ces points sont les **supports** à la construction de l'hyperplan.
- D'où le nom donné à cette méthode, **SVM** pour Support Vector Machine.

Calcul de la marge égale à $1/\|\mathbf{w}^*\|$

- Le vecteur w^* s'exprime à partir des points supports :

$$\mathbf{w}^* = \sum_{j \in S_v} \mu_j^* y_j \mathbf{x}_j$$

- Pour chaque point support $i \in S_v$, on a $y_i(\mathbf{w}^{*T} \mathbf{x}_i + b^*) = 1$. D'où :

$$y_i \left[\underbrace{\left(\sum_{j \in S_v} \mu_j^* y_j \mathbf{x}_j^T \right)}_{\mathbf{w}^{*T}} \mathbf{x}_i + b^* \right] = 1 \Rightarrow y_i \sum_{j \in S_v} \mu_j^* y_j \mathbf{x}_j^T \mathbf{x}_i = 1 - y_i b^*$$

- D'où la valeur de la marge donnée à partir de :

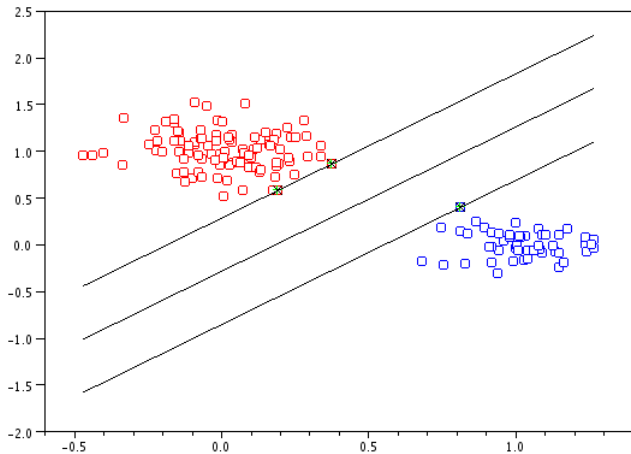
$$\begin{aligned} \Rightarrow \|\mathbf{w}^*\|^2 &= \sum_{i \in S_v} \mu_i^* y_i \sum_{j \in S_v} \mu_j^* y_j \mathbf{x}_i^T \mathbf{x}_j = \sum_{i \in S_v} \mu_i^* (1 - y_i b^*) \\ &= \sum_{i \in S_v} \mu_i^* - b \sum_{i \in S_v} \mu_i^* y_i = \sum_{i \in S_v} \mu_i^* \end{aligned}$$

$$\Rightarrow \text{Marge} = \frac{1}{\|\mathbf{w}^*\|} = \frac{1}{\sqrt{\sum_{i \in S_v} \mu_i^*}}$$

Echantillon linéairement séparable

Classe 1 : 100 points $\sim \mathcal{N}([1; 0], 0.02)$ Classe 2 : 50 points $\sim \mathcal{N}([0; 1], 0.04)$

Points supports pour le calcul des paramètres du séparateur (w^* , b^*)



Cas non linéairement séparable

- Lorsque les 2 classes ne sont pas linéairement séparables, certaines contraintes ne seront pas satisfaites.
- Pour cela on introduit des variables auxiliaires $\xi_i \geq 0, i = 1, 2, \dots, n$ (*slack variables*) permettant de *relâcher* les contraintes :

$$y_i(w^T x_i + b) \geq 1 - \xi_i, \quad i = 1, 2, \dots, n$$

où ξ_i est l'écart (éventuel) à la contrainte $y_i(w^T x_i + b) \geq 1$.

- On cherchera donc à minimiser également la somme des écarts ξ_i :

$$\frac{1}{2} \|w\|^2 + C \sum_{i=1}^n \xi_i$$

où C est un hyper paramètre caractérisant le compromis entre une marge optimale et le nombre d'erreurs de classement.

- Les petites valeurs de C permettent d'obtenir un modèle de prédiction plus *lisse* en négligeant les *outliers* (données bruitées). Choix de sa valeur par évaluation d'un critère (*grid search*).

Optimisation convexe

- En notant μ, ν les $2 * n$ multiplicateurs de Lagrange, le lagrangien est :

$$L(w, b, \xi, \mu, \nu) = \underbrace{\frac{1}{2} \|w\|^2 + C \sum_i \xi_i}_{\text{critère}} - \underbrace{\sum_i \mu_i (\xi_i + y_i (w^T x_i + b) - 1) - \sum_i \nu_i \xi_i}_{\text{contraintes}}$$

- Même méthode de résolution que le cas linéairement séparable
- Bonne nouvelle!!! le cas non linéairement séparable s'obtient en imposant de plus la borne supérieure C sur les μ_i : $0 \leq \mu_i \leq C$

$$\begin{aligned} \mu^* &= \arg \min_{\mu} [\frac{1}{2} \mu^T K \mu - 1^T \mu] & K_{ij} &= y_i y_j x_i^T x_j \\ w^* &= \sum_{s \in S_v} \mu_s^* y_s x_s & 0 < \mu_s^* \leq C \\ b^* &= \frac{1}{|S_b|} \sum_{s \in S_b} (y_s - w^{*T} x_s) & 0 < \mu_s^* < C \end{aligned}$$

- Modèle du classifieur à marge optimale identique à celui du cas linéairement séparable :

$$f(x|w^*, b^*) = \text{signe}(w^{*T} x + b^*)$$

- Marge s'obtient en prenant en compte les *slack variables* ξ_i^* et l'hyperparamètre C :

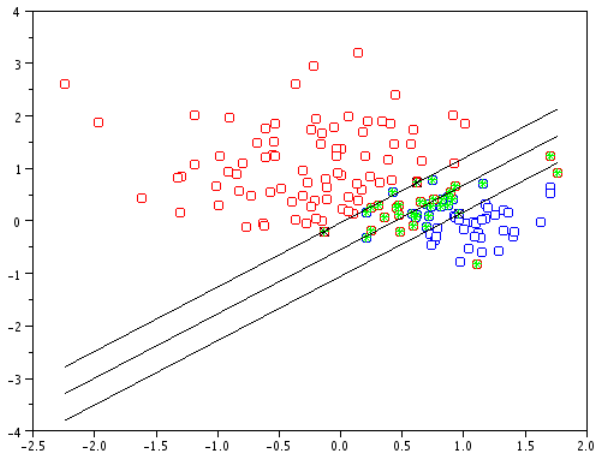
$$\frac{1}{\|w^*\|} = \frac{1}{\sqrt{\sum_{i \in S_v} (\mu_i^* - C \xi_i^*)}} \quad \text{où } \xi_i^* = \max(0, 1 - y_i (w^{*T} x_i + b^*))$$

- Remarque : si le problème est linéairement séparable $\xi_i = 0$, on retrouve le SVM du cas linéairement séparable avec $0 \leq \mu^* < C = \infty$.

Echantillon non linéairement séparable

Classe 1 : 100 points $\sim \mathcal{N}([0, 1], 0.1)$ Classe 2 : 50 points $\sim \mathcal{N}([1, 0], 0.05)$

Points supports pour le calcul de w^* dont 3 notés \otimes pour le calcul de b^*



Introduction aux SVM non linéaires

- Le classifieur LINEAIRE a été défini à partir de produits scalaires défini dans l'espace des entrées entre le point x et les points supports x_s .

$$f(x|w^*, b^*) = \text{signe}(w^{*T}x + b^*) = \text{signe}\left(\sum_s \mu_s^* y_s x_s^T x + b^*\right)$$

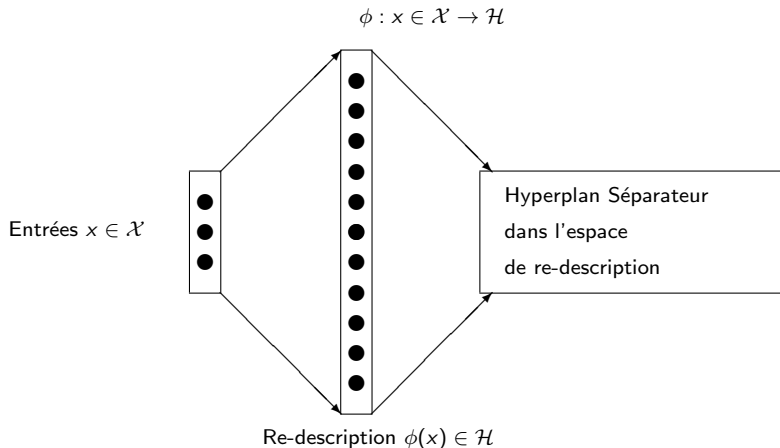
- Nous avons vu pour l'exemple du XOR (problème non linéairement séparable dans \mathbb{R}^2) que des transformations polynomiales des entrées

$$x = (x(1), x(2)) \rightarrow \phi(x) = (x(1), x(2), x(1)^2, x(2)^2, x(1)x(2))$$

permettent la construction d'un séparateur linéaire dans l'espace transformé de dimension 5.

Espace de re-description

Choix d'une application $\phi()$ de l'espace des entrées vers un **espace de re-description** (généralement de plus grande dimension) de façon à *linéariser* le classifieur



Introduction aux SVM non linéaires (suite)

- Pour l'exemple du XOR, considérons la transformation polynomiale suivante de degré 2 :

$$x = \underbrace{(x(1), x(2))}_{\mathcal{X}: \text{espace des entrées}} \rightarrow \phi(x) = \underbrace{(1, \sqrt{2}x(1), \sqrt{2}x(2), x(1)^2, x(2)^2, \sqrt{2}x(1)x(2))}_{\text{un espace de redescription}}$$

- En retenant le noyau $k(x_i, x_j) = (1 + x_i^T x_j)^2$ pour obtenir des fonctions polynomiales de degré 2 dans \mathbb{R}^2 (5 coefficients), on a la propriété suivante :

$$\phi(x_i)^T \phi(x_j) = (1 + x_i^T x_j)^2$$

- L'intérêt de cette approche est de remplacer le calcul des produits scalaires dans l'espace de re-description (grande dimension) par une fonction $k : \mathcal{X} \times \mathcal{X} \rightarrow \mathbb{R}$: de plus faible dimension et sans expliciter la transformation $\phi(x)$:

$$k(x_i, x_j) = (1 + x_i^T x_j)^2$$

- Par exemple si $x \in \mathbb{R}^p$, le polynôme multidimensionnel de degré d comporte $(p + d)!/p!d!$ monômes (nombre de composantes de ϕ). L'évaluation du produit scalaire $\phi(x_i)^T \phi(x_j)$ est beaucoup plus coûteuse que celle de la fonction $k(x_i, x_j) = (1 + x_i^T x_j)^d$.
- Dans le cas de MNIST, les images des chiffres sont codées sur des matrices 28×28 , c'est à dire par $p = 784$ composantes. Si on retient un polynôme de degré $d = 3$, les polynômes $\phi(x)$ ont 80931145 composantes à comparer aux produits scalaires entre vecteurs de 784 composantes !!!

Introduction aux méthodes à noyaux

- On se restreint à une classe particulière pour les fonctions k , les noyaux symétriques définis positifs (s.d.p.)
- Un noyau défini positif sur un ensemble \mathcal{X} est une fonction $k()$ qui associe à 2 objets de \mathcal{X} un nombre réel représentant leur *similarité* :

$$k : \mathcal{X} \times \mathcal{X} \rightarrow \mathbb{R}$$

- On exige la symétrie et la positivité. Pour toute séquence finie x_1, x_2, \dots, x_n , la matrice K d'éléments $k(x_i, x_j)$, **matrice de Gram** est définie positive, c'est à dire $\forall \beta \in \mathbb{R}^n : \beta^T K \beta \geq 0$.
- Quelques exemples de noyaux définis positifs pour $\mathcal{X} = \mathbb{R}^p$
 - linéaire $k(x, y) = x^T y$,
 - polynomial $k(x, y) = (1 + x^T y)^d$
 - gaussien $k(x, y) = \exp[-\alpha \|x - y\|_2^2]$ appelé également RBF (Radial Basis Functions)

RKHS : Espaces de Hilbert à noyaux reproduisants

- Un noyau défini positif k permet de construire un espace de fonctions.
- Muni d'un produit scalaire, c'est un espace de Hilbert \mathcal{H}_k à noyau reproduisant appelé RKHS, Reproducing Kernel Hilbert Space
- Le RKHS se définit très simplement par ses éléments (des fonctions) et par un produit scalaire (entre fonctions).
 - ① $\forall x \in \mathcal{X}, k_x = k(x, \cdot) \in \mathcal{H}_k$
 - ② $\langle k_x, k_y \rangle = k(x, y)$
- Exemples pour $x = a \in \mathbb{R}^p$
 - ① $k(x, y) = x^T y \rightarrow$ fonctions affines $k_a(y) = \sum_{i=1}^p y_i a_i$
 - ② $k(x, y) = (1 + x^T y)^d \rightarrow$ polynômes multi-dimensionnels $k_a(y) = (1 + \sum_{i=1}^p y_i a_i)^d$
 - ③ $k(x, y) = \exp[-\alpha \|x - y\|_2^2] \rightarrow$ noyaux gaussiens $k_a(y) = \exp[-\alpha \sum_{i=1}^p (y_i - a_i)^2]$
- Intérêt est de pouvoir travailler sur des espaces de très grande dimension (polynômes), voire de dimension infinie (noyaux gaussiens, de Laplace, ...).

Espaces de Hilbert à noyaux reproduisants (suite)

- A tout $x \in \mathcal{X}$ est associé un élément $\phi_x \in \mathcal{H}_k$:

$$\begin{aligned}\mathcal{X} &\rightarrow \mathcal{H}_k \\ \phi_x &= k(x, \cdot)\end{aligned}$$

- Propriété du **kernel trick**.

$$\langle \phi_{x_i}, \phi_{x_j} \rangle_{\mathcal{H}_k} = k(x_i, x_j)$$

- Le choix d'un noyau défini positif permet donc de travailler dans des espaces de grande dimension (même infinie) de façon à *linéariser* la séparatrice
- Pas nécessaire d'expliciter les fonctions de l'espace de re-description grâce au **kernel trick**
- On reprend donc les formules établies pour le SVM linéaire et il suffit de remplacer les produits scalaires $x_i^T x_j$ par $\langle \phi_{x_i}, \phi_{x_j} \rangle_{\mathcal{H}_k}$ c'est à dire par $k(x_i, x_j)$

SVM à noyaux (1)

- La solution s'exprime comme dans le cas linéaire à partir de la résolution d'une minimisation quadratique sous contraintes linéaires.

$$\begin{aligned} \mu^* &= \arg \min_{\mu} \frac{1}{2} \sum_{i,j} \mu_i \mu_j y_i y_j \langle \phi_{x_i}, \phi_{x_j} \rangle_{\mathcal{H}_k} - \sum_i \mu_i \\ 0 &\leq \mu_i \leq C, \quad \sum_i \mu_i y_i = 0 \end{aligned}$$

- Et via le **kernel trick** les produits scalaires sont remplacés par les éléments de la matrice de similarité

$$\begin{aligned} \mu^* &= \arg \min_{\mu} \frac{1}{2} \sum_{i,j} \mu_i \mu_j y_i y_j k(x_i, x_j) - \sum_i \mu_i \\ &= \arg \min_{\mu} \left[\frac{1}{2} \mu^T K \mu - \mathbf{1}^T \mu \right] \end{aligned}$$

- On retrouve la formulation du SVM linéaire!!! via une **simple optimisation convexe**

SVM à noyaux (2)

- Formalisation du modèle de prédiction via le kernel :

$$\begin{aligned}
 f(x|w^*, b^*) &= \text{signe}(\langle w^*, \phi_x \rangle_{\mathcal{H}_k} + b^*) \\
 &= \text{signe}(\langle \sum_{s \in S_v} \mu_s^* y_s \phi_{x_s}, \phi_x \rangle_{\mathcal{H}_k} + b^*) \\
 &= \text{signe}(\sum_{s \in S_v} \mu_s^* y_s \langle \phi_{x_s}, \phi_x \rangle_{\mathcal{H}_k} + b^*) \\
 &= \text{signe}(\sum_{s \in S_v} \mu_s^* y_s k(x_s, x) + b^*)
 \end{aligned}$$

- Le seuil b^* est défini par les points supports $S_b \subset S_v$ vérifiant les prédictions. Soit $x_s \in S_b$ un des ces points, on a

$$b^* = y_s - \langle w^*, \phi_{x_s} \rangle_{\mathcal{H}_k} = y_s - \sum_{k \in S_v} \mu_k^* y_k k(x_k, x_s)$$

ou bien par la moyenne de tous ces points (plus de précision numérique) :

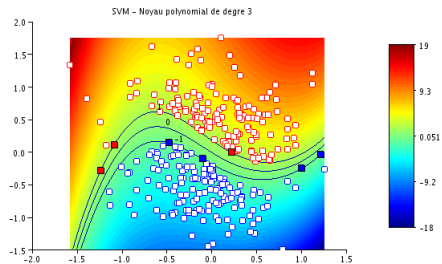
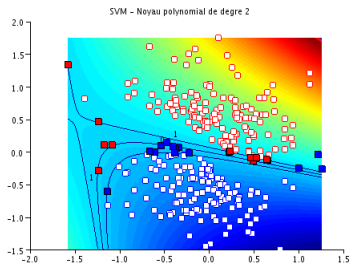
$$b^* = \frac{1}{|S_b|} \sum_{s \in S_b} (y_s - \sum_{k \in S_v} \mu_k^* y_k k(x_k, x_s))$$

- Toute prédiction en x s'exprime à partir d'une combinaison linéaire des similarités entre x et les points supports x_s . En notant $\alpha_s^* = \mu_s^* y_s$:

$$f(x|\alpha^*, b^*) = \text{signe}(\sum_{s \in S_v} \alpha_s^* k(x_s, x) + b^*)$$

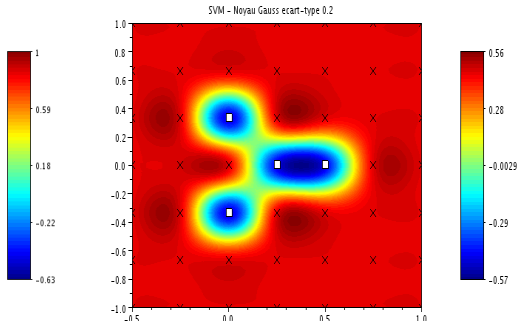
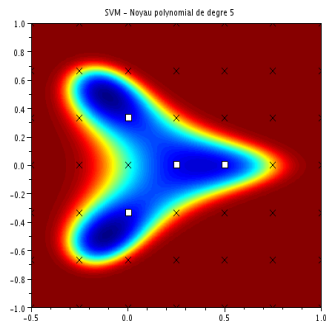
Noyau polynomial

Points de la classe 1 : $y = +1$, points de la classe 2 : $y = -1$



Noyau gaussien

- 2 classes imbriquées, une définie par 4 points (*square*, $y = -1$) contenue dans l'autre définie par les points (*cross*, $y = +1$)
- La visualisation porte sur les sorties transformées par la fonction tangente hyperbolique $y \rightarrow (1 - e^{-y})/(1 + e^{-y})$



Exemple de codage avec Scikit-Learn (S. Gazut CEA)

- Données d'apprentissage : Xtrain, Ytrain

```
classifieur = SVC(kernel='poly', degree=3, gamma='auto', probability=True, C=100, coef0=1)
classifieur = classifieur.fit(Xtrain, Ytrain)
```

- Pour un choix des hyper-paramètres via *grid search*

```
parameters = {"kernel": ["poly", "poly", "poly"], 'degree': [3, 4, 5], "C": [0.1, 0.5, 1, 2, 10, 20, 50, 100]}
svmc = SVC(gamma='auto')
grille = GridSearchCV(estimator=svmc, param_grid=parameters, scoring="accuracy")
results = grille.fit(X, Y)
```

```
classifieur = SVC(kernel=results.best_params_['kernel'],
                  degree=results.best_params_['degree'], gamma='auto',
                  probability=True, C=results.best_params_['C'], coef0=1)
```

- Prédictions pour de nouveaux points : Xnew

```
Ypred = classifieur.predict(Xnew)
```

- coef0** est un paramètre spécifique aux noyaux de type polynôme et sigmoïde. Par exemple, pour le noyau polynomial il correspond à la formulation suivante : $k(x,y) = (\text{coef0} + x^T y)^d$. Par défaut, il est fixé à 0 (noyau dit homogène).
- Probability = True**, correspond au fait que la probabilité d'appartenance à la classe 1 sera estimée en plus de la valeur de prédiction du SVM. Il faut définir ce paramètre avant d'appeler la méthode fit. Globalement, cette probabilité d'appartenance est estimée via la méthode de *platt scaling* qui correspond à un rescaling en appliquant une logistique en sortie.
- gamma = 'auto'**, le paramètre γ est utilisé pour pondérer l'écart entre les feature vectors notamment dans le noyau gaussien $k(u, v) = \exp(-\gamma \|u - v\|^2)$. La valeur optimale de cet hyper-paramètre dépend du jeu de données (taille de l'espace, normalisation des données).

- Retenir
 - SVM outil efficace notamment en classification supervisée
 - Utilisation des *méthodes à noyaux* pour représenter tout type de fonctions
- Références
 - Sites : [http :/www.svms.org/tutorials](http://www.svms.org/tutorials) et [http :/www.support-vector-machines.org](http://www.support-vector-machines.org) où on trouve de nombreux tutoriels et références comme ceux de B. Scholkopf, des cours *matheux* sur les méthodes à noyaux comme ceux de J.Ph. Vert.
 - Librairie [LIBSVM](#), Python [Scikit-learn](#)
 - A. Géron, Machine Learning avec Scikit-Learn, Dunod, 2019